Изолированное основание
Корпус промышленного стандарта
Упрощенная механическая конструкция, быстрая сборка
Прижимная конструкция

Однопозиционный Тиристорный Модуль MT1-800-18-E1M

Максимально допустимый средний ток в открытом состоянии	I_{TAV}	800 А
Повторяющееся импульсное напряжение в закрытом состоянии	U_{DRM}	1000...1800 В
Повторяющееся импульсное обратное напряжение	U_{RRM}	
Время выключения	t_q	250 мкс

U_{DRM}, U_{RRM}, В	1000	1100	1200	1300	1400	1500	1600	1800
Класс по напряжению	10	11	12	13	14	15	16	18
T_j, °C	–50...+130							

MT1

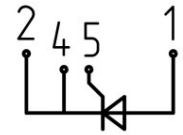

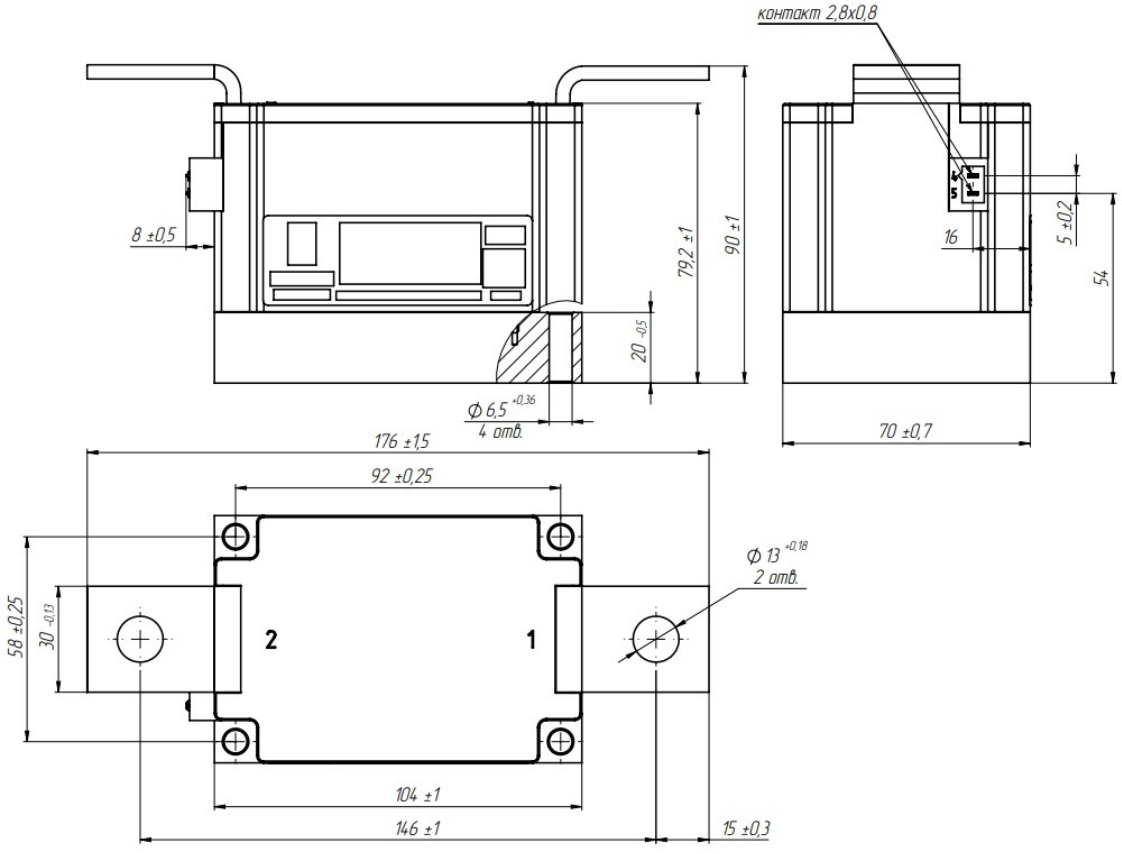

ПРЕДЕЛЬНО ДОПУСТИМЫЕ ЗНАЧЕНИЯ ПАРАМЕТРОВ

Обозначение	Наименование параметра	Ед. изм.	Значение	Условия измерения
Параметры в проводящем состоянии				
I_{TAV}	Максимально допустимый средний ток в открытом состоянии	A	800 901	T_c= 91 °C; T_c= 85 °C; 180 эл. град. синус; 50 Гц
I_{TRMS}	Действующий ток в открытом состоянии	A	1256	T_c= 91 °C; 180 эл. град. синус; 50 Гц
I_{TSM}	Ударный ток в открытом состоянии	кА	42.0 48.0	T_j=$T_{j\,max}$ T_j=25 °C 180 эл. град. синус; t_p=10 мс; единичный импульс; U_D=U_R=0 В; Импульс управления: I_G=2 А; t_{GP}=50 мкс; di_G/dt≥1 А/мкс
			44.0 51.0	T_j=$T_{j\,max}$ T_j=25 °C 180 эл. град. синус; t_p=8.3 мс; единичный импульс; U_D=U_R=0 В; Импульс управления: I_G=2 А; t_{GP}=50 мкс; di_G/dt≥1 А/мкс
I^2t	Защитный показатель	$A^2c{\cdot}10^3$	8800 11500	T_j=$T_{j\,max}$ T_j=25 °C 180 эл. град. синус; t_p=10 мс; единичный импульс; U_D=U_R=0 В; Импульс управления: I_G=2 А; t_{GP}=50 мкс; di_G/dt≥1 А/мкс
			8000 10700	T_j=$T_{j\,max}$ T_j=25 °C 180 эл. град. синус; t_p=8.3 мс; единичный импульс; U_D=U_R=0 В; Импульс управления: I_G=2 А; t_{GP}=50 мкс; di_G/dt≥1 А/мкс
Блокирующие параметры				
U_{DRM}, U_{RRM}	Повторяющееся импульсное обратное напряжение и повторяющееся импульсное напряжение в закрытом состоянии	В	1000...1800	$T_{j\,min}$< T_j <$T_{j\,max}$; 180 эл. град. синус; 50 Гц; управление разомкнуто
U_{DSM}, U_{RSM}	Неповторяющееся импульсное обратное напряжение и неповторяющееся импульсное напряжение в закрытом состоянии	В	1100...1900	$T_{j\,min}$< T_j <$T_{j\,max}$; 180 эл. град. синус; единичный импульс; управление разомкнуто
U_D, U_R	Постоянное обратное и постоянное прямое напряжение	В	0.6·U_{DRM} 0.6·U_{RRM}	T_j=$T_{j\,max}$; управление разомкнуто
Параметры управления				
I_{FGM}	Максимальный прямой ток управления	A	8	T_j=$T_{j\,max}$
U_{RGM}	Максимальное обратное напряжение управления	В	5	
P_G	Максимальная рассеиваемая мощность по управлению	Вт	4	T_j=$T_{j\,max}$ для постоянного тока управления
Параметры переключения				
$(di_T/dt)_{crit}$	Критическая скорость нарастания тока в открытом состоянии (f=1 Hz)	А/мкс	630	T_j=$T_{j\,max}$; U_D=0.67·U_{DRM}; I_{TM}=2200 А; Импульс управления: I_G=2 А; U_G=20 В; t_{GP}=50 мкс; di_G/dt=2 А/мкс
Тепловые параметры				
T_{stg}	Температура хранения	°C	–50...+50	
T_j	Температура p-n перехода	°C	–50...+130	
$T_{c\,op}$	Рабочая температура корпуса	°C	–50...+125	
Механические параметры				
a	Ускорение	м/с^2	50	

ХАРАКТЕРИСТИКИ

Обозначение и наименование характеристики		Ед. изм.	Значение	Условия измерения	
Характеристики в проводящем состоянии					
U_{TM}	Импульсное напряжение в открытом состоянии, макс	В	1.45	T_j=25 °C; I_{TM}=2500 А	
$U_{T(TO)}$	Пороговое напряжение, макс	В	0.834	$T_j=T_{j\,max}$; 0.5 π I_{TAV} < I_T < 1.5 π I_{TAV}	
r_T	Динамическое сопротивление в открытом состоянии, макс	мОм	0.187		
I_L	Ток включения, макс	мА	1500	T_j=25 °C; U_D=12 В; Импульс управления: I_G=2 А; t_{GP}=50 мкс; di_G/dt≥1 А/мкс	
I_H	Ток удержания, макс	мА	300	T_j=25 °C; U_D=12 В; управление разомкнуто	
Блокирующие характеристики					
I_{DRM}, I_{RRM}	Повторяющийся импульсный обратный ток и повторяющийся импульсный ток в закрытом состоянии, макс	мА	150 4.00	$T_j=T_{j\,max}$ T_j=25 °C	$U_D=U_{DRM}$; $U_R=U_{RRM}$
$(du_D/dt)_{crit}$	Критическая скорость нарастания напряжения в закрытом состоянии[1)], мин	В/мкс	200, 320, 500, 1000, 1600, 2000, 2500	$T_j=T_{j\,max}$; U_D=0.67·U_{DRM}; управление разомкнуто	
Характеристики управления					
U_{GT}	Отпирающее постоянное напряжение управления, макс	В	3.00 2.50 1.50	$T_j=T_{j\,min}$ T_j=25 °C $T_j=T_{j\,max}$	U_D=12 В; I_D=3 А; Постоянный ток управления
I_{GT}	Отпирающий постоянный ток управления, макс	мА	400 250 150	$T_j=T_{j\,min}$ T_j= 25 °C $T_j=T_{j\,max}$	
U_{GD}	Неотпирающее постоянное напряжение управления, мин	В	0.50	$T_j=T_{j\,max}$; U_D=0.67·U_{DRM}; Постоянный ток управления	
I_{GD}	Неотпирающий постоянный ток управления, мин	мА	70.00		
Динамические характеристики					
t_{gd}	Время задержки, макс	мкс	0.90	T_j=25 °C; U_D=1000 В; $I_{TM}=I_{TAV}$; di/dt=200 А/мкс; Импульс управления: I_G=2 А; U_G=20 В; t_{GP}=50 мкс; di_G/dt=2 А/мкс	
t_{gt}	Время включения, макс	мкс	2.00		
t_q	Время выключения[2)], макс	мкс	250	du_D/dt=50 В/мкс; $T_j=T_{j\,max}$; $I_{TM}=I_{TAV}$; di_R/dt=-10 А/мкс; U_R=100 В; U_D= 0.67·U_{DRM}	
Q_{rr}	Заряд обратного восстановления, макс	мкКл	3140	$T_j=T_{j\,max}$; $I_{TM}=I_{TAV}$; di_R/dt=-10 А/мкс; U_R=100 В	
t_{rr}	Время обратного восстановления, макс	мкс	33		
I_{rr}	Обратный ток восстановления, макс	А	190		
Тепловые характеристики					
R_{thjc}	Тепловое сопротивление p-n переход-корпус, макс			180 эл. град. синус; 50 Гц	
	на модуль	°C/Вт	0.0400		
R_{thch}	Тепловое сопротивление корпус-охладитель, макс				
	на модуль	°C/Вт	0.0100		
Характеристики изоляции					
U_{ISOL}	Электрическая прочность изоляции	кВ	4.50	синус; 50 Гц; действующее значение	t=60 с
			5.40		t=1 с

Механические характеристики				
M_1	Момент затяжки основания (M6)[3)]	Нм	6.00	Допуск ± 15%
M_2	Момент затяжки выводов (M12)[3)]	Нм	18.00	Допуск ± 15%
m	Масса, макс	г	2750	

МАРКИРОВКА

MT	1	-	800	-	18	-	A2	M2	-	E1M	-	У2
1	2		3		4		5	6		7		8

1. MT - Тиристорный модуль
2. Схема включения
3. Средний прямой ток, А
4. Класс по напряжению
5. Критическая скорость нарастания напряжения в закрытом состоянии
6. Группа по времени выключения (du_D/dt=50 В/мкс)
7. Тип корпуса (M.E1M)
8. Климатическое исполнение по ГОСТ 15150 и ГОСТ 15543.1: У2[4)]

ПРИМЕЧАНИЕ

[1)] Критическая скорость нарастания напряжения в закрытом состоянии

Обозначение группы	P2	K2	E2	A2	T1	P1	M1
$(du_D/dt)_{crit}$, В/мкс	200	320	500	1000	1600	2000	2500

[2)] Время выключения (du_D/dt=50 В/мкс)

Обозначение группы	M2
t_q, мкс	250

[3)] Резьба должна быть смазана

[4)] Дополнительно:
- рабочая температура окружающей среды –50...+60 °C;
- верхнее значение высоты над уровнем моря 1700 метров;
- устойчивость к воздействию инея и росы.

Содержащаяся здесь информация является конфиденциальной и находится под защитой авторских прав.
В интересах улучшения качества продукции, АО «Протон-Электротекс» оставляет за собой право изменять информационные листы без уведомления.

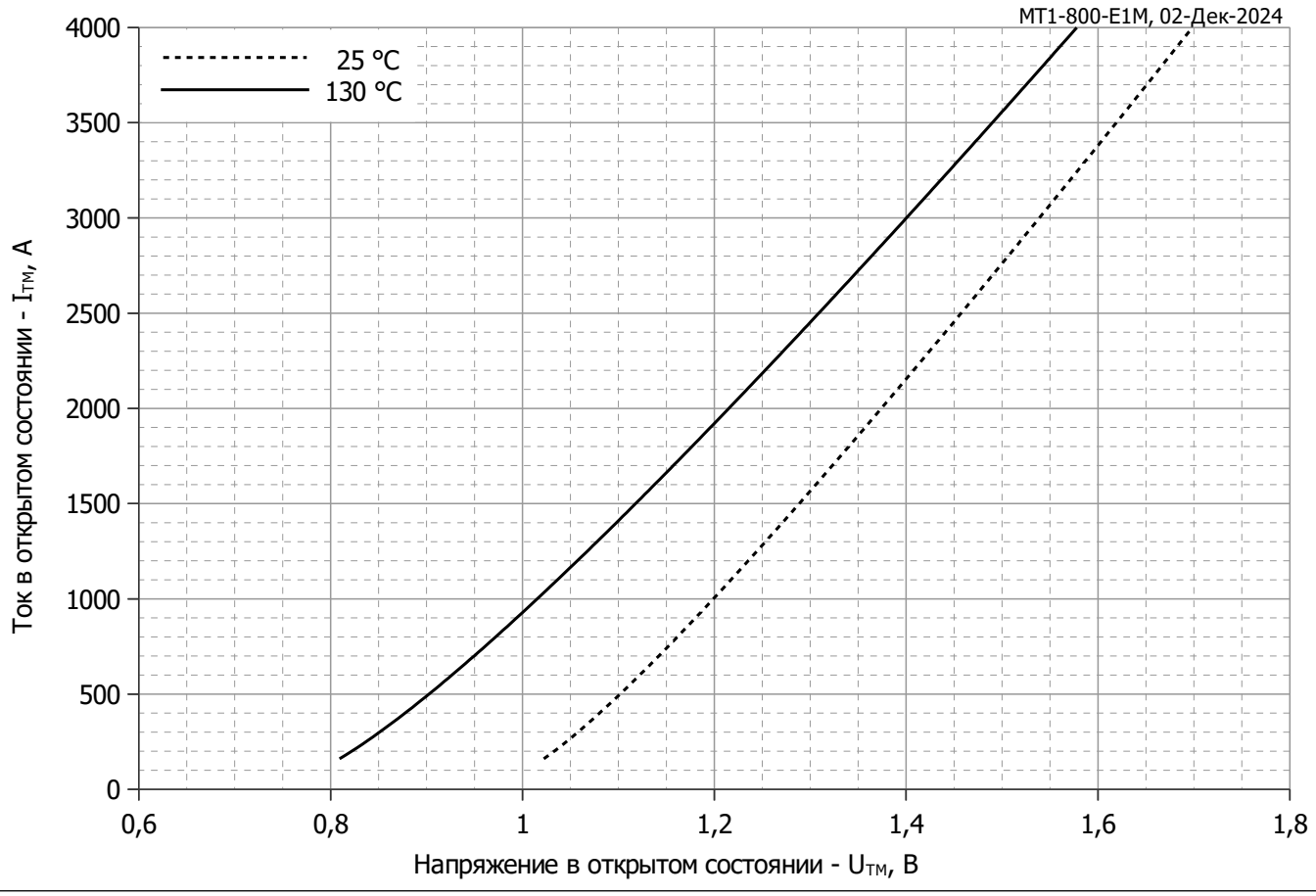

Рис. 1 – Предельная вольт – амперная характеристика

Аналитическая функция предельной вольт — амперной характеристики:

$$V_T = A + B \cdot i_T + C \cdot \ln(i_T + 1) + D \cdot \sqrt{i_T}$$

	Коэффициенты для графика	
	T_j = 25°C	$T_j = T_{j\,max}$
A	0.93815531	0.72539983
B	0.00013321	0.00013743
C	0.00505674	0.00041170
D	0.00293182	0.00473380

Модель предельной вольт – амперной характеристики (см. Рис. 1).

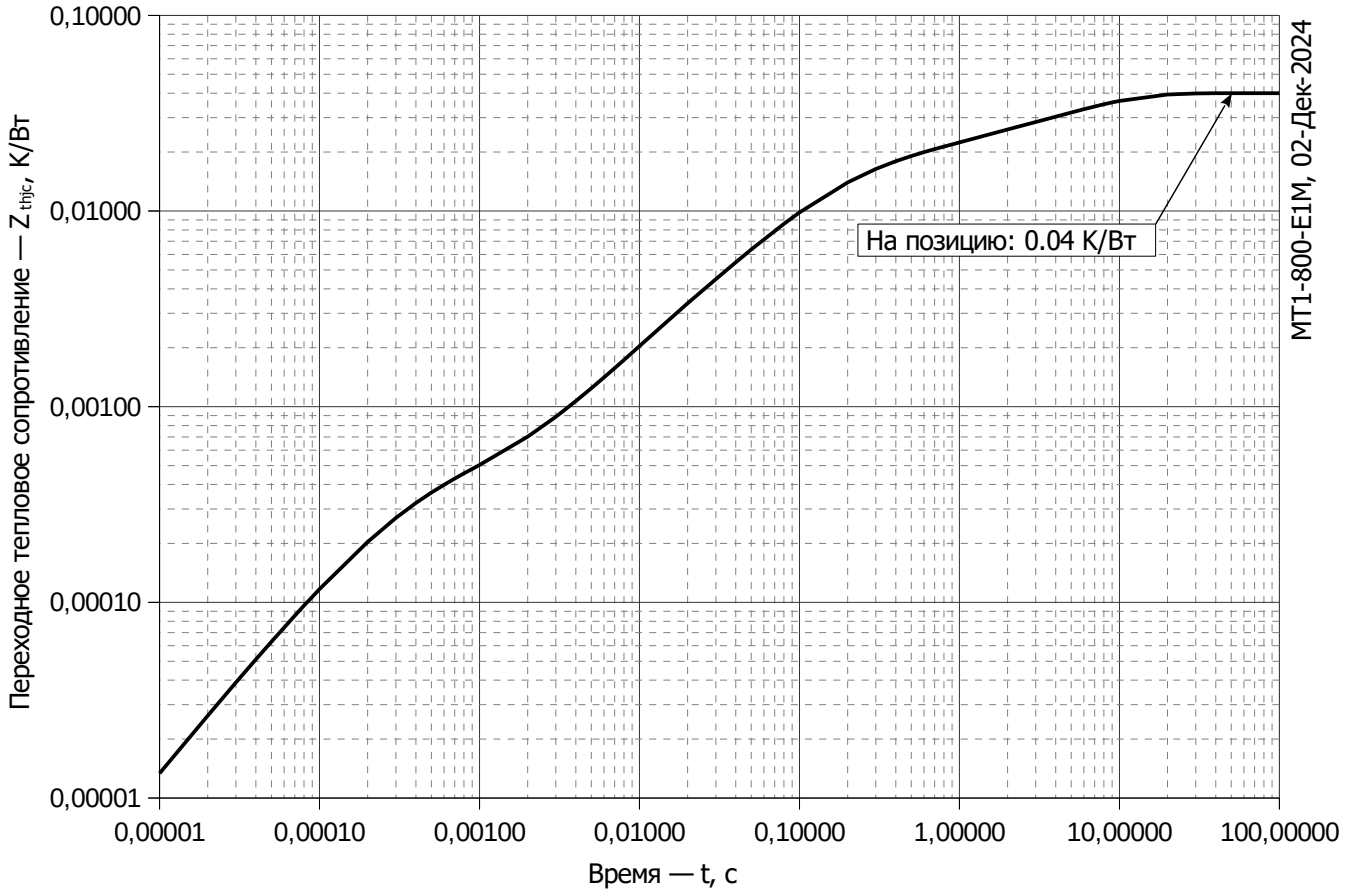

Рис. 2 – Зависимость переходного теплового сопротивления Z_{thjc} от времени t

Аналитическая зависимость переходного теплового сопротивления переход — корпус:

$$Z_{thjc} = \sum_{i=1}^{n} R_i \left(1 - e^{-\frac{t}{\tau_i}} \right)$$

Где ***i*** = 1 до ***n***, ***n*** – число суммирующихся элементов.

t = продолжительность импульсного нагрева в секундах.

$\mathbf{Z_{thjc}}$ = Тепловое сопротивление за время t.

$\mathbf{R_i}$, $\mathbf{t_i}$ = расчетные коэффициенты, приведенные в таблице

i	1	2	3	4	5	6
$\mathbf{R_i}$, **K/W**	0.02251	0.005931	0.009502	0.004252	0.001006	0.0003132
τ_i, **s**	5.887	0.7389	0.1616	0.08215	0.01267	0.0002712

Модель переходного теплового сопротивления переход - корпус (см. Рис. 2)

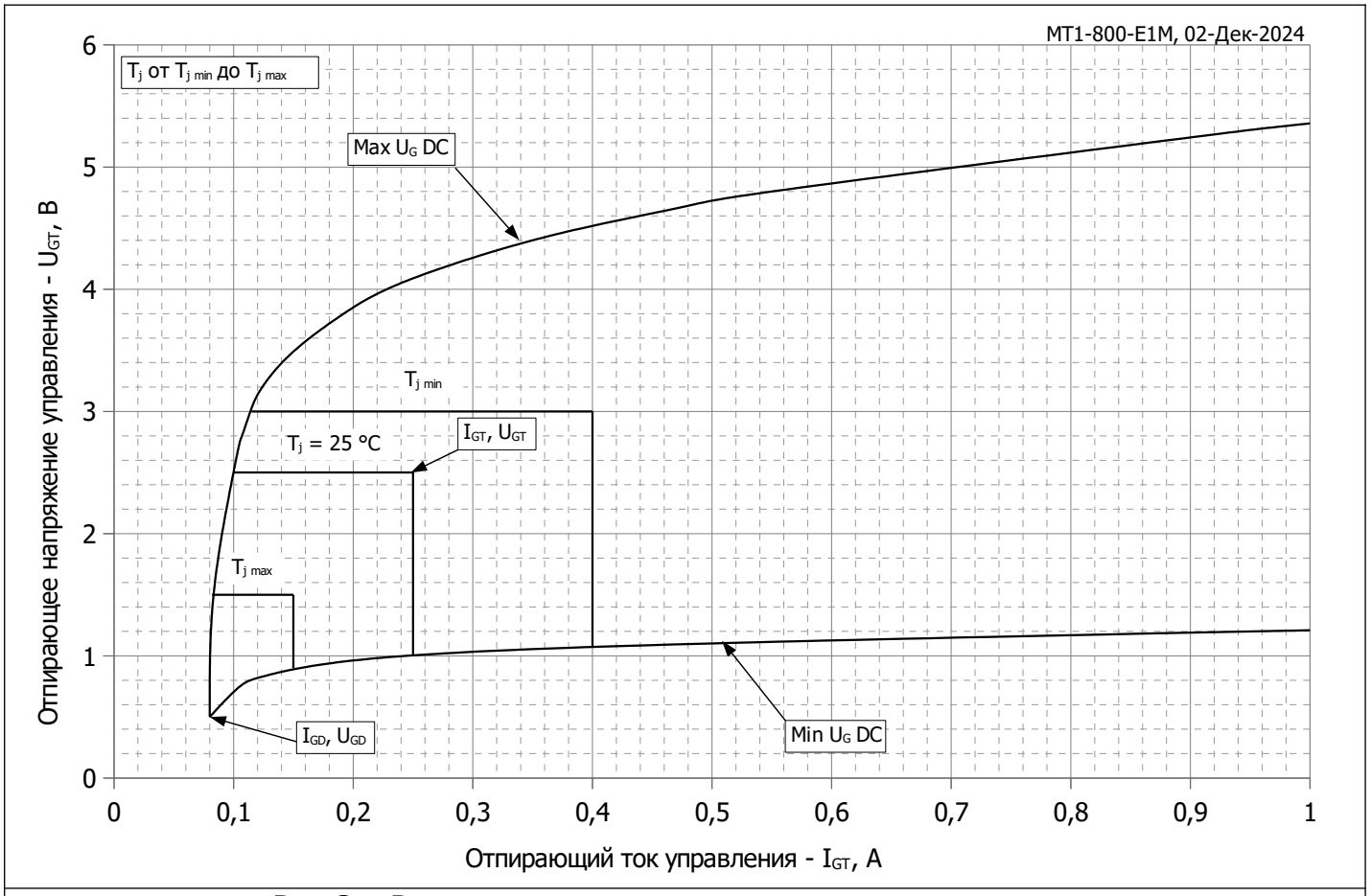

Рис. 3 – Вольт — амперная характеристика цепи управления

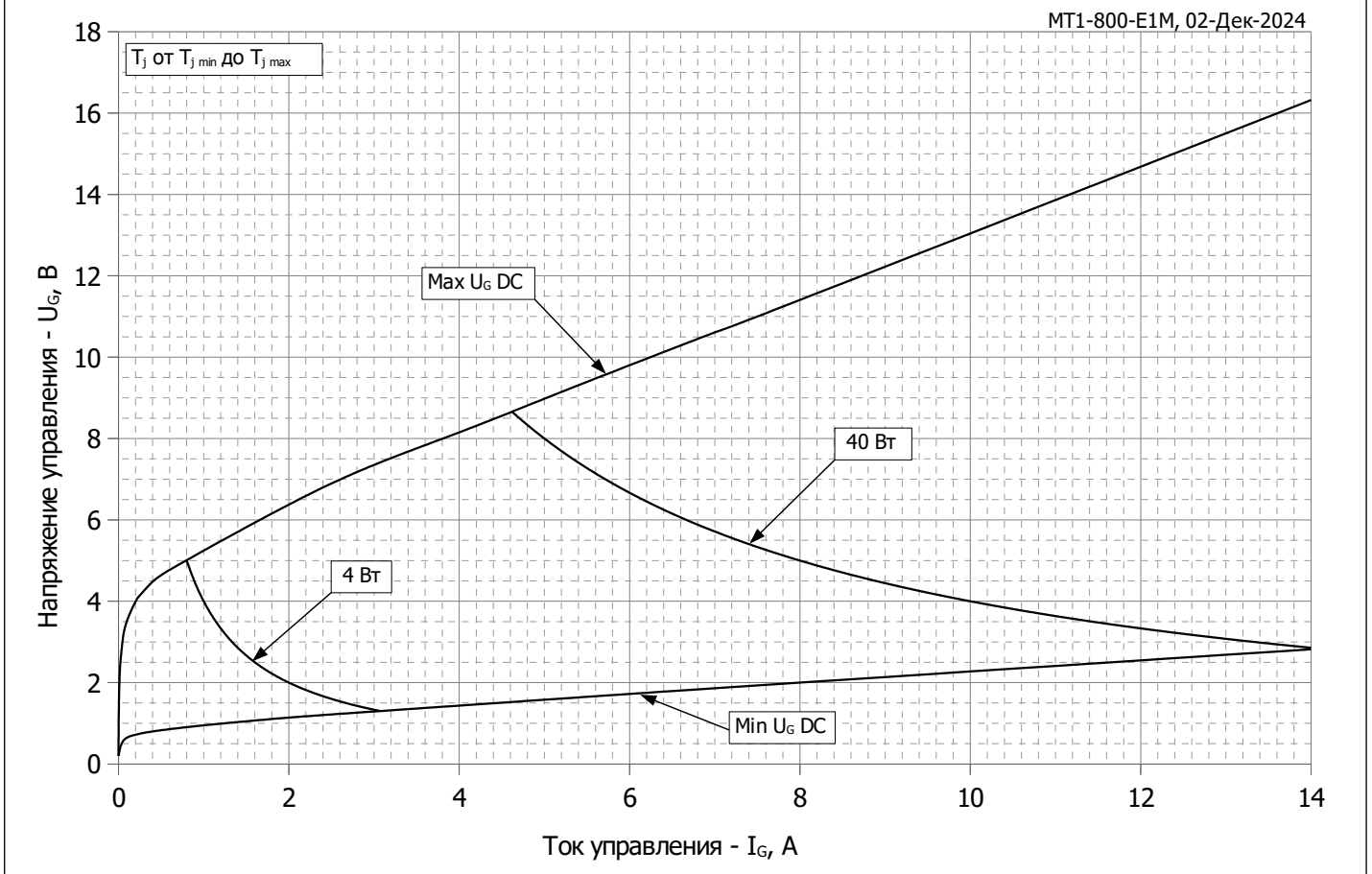

Рис. 4 – Вольт — амперная характеристика цепи управления — Кривые мощности

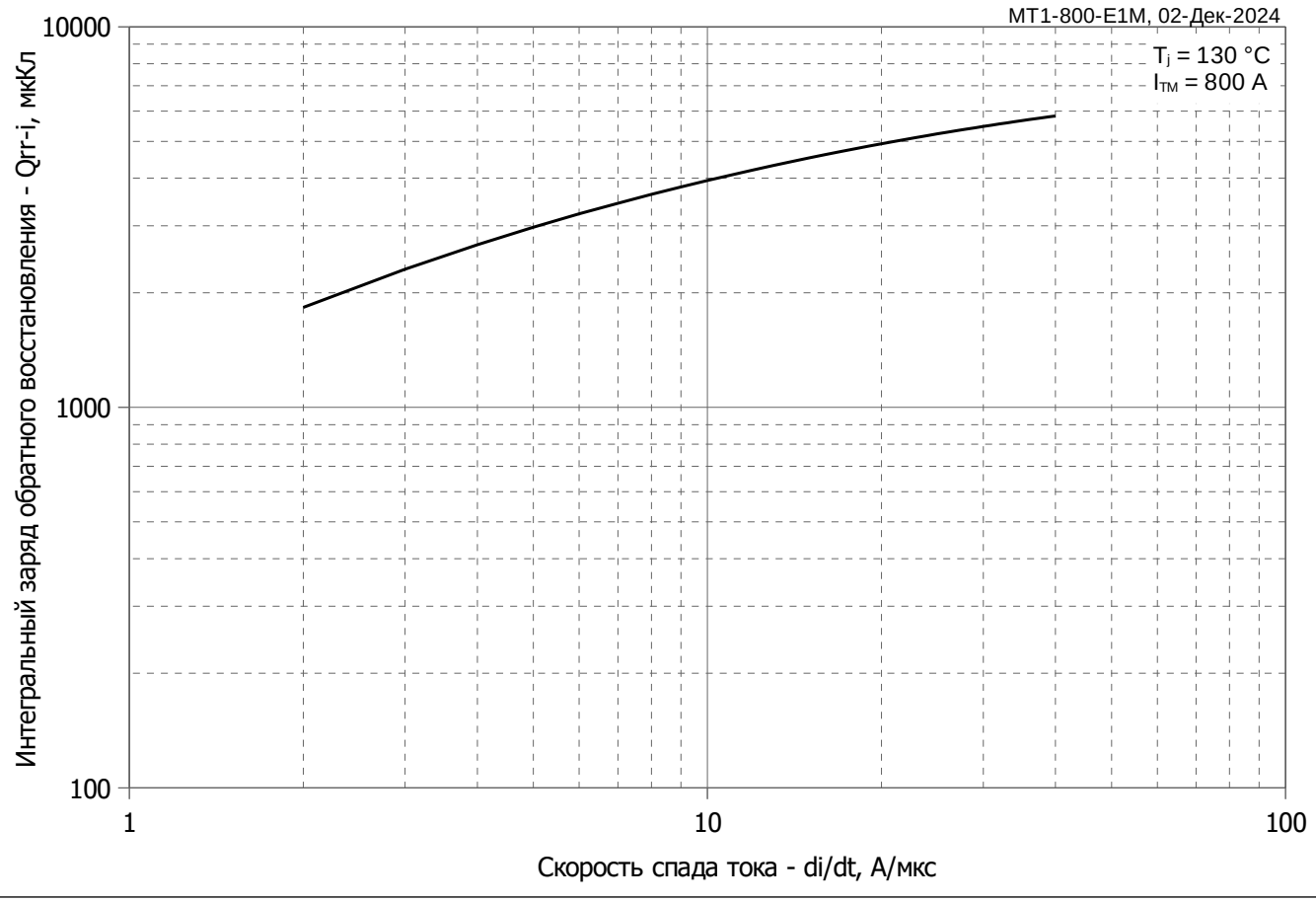

Рис. 5 – Зависимость максимального интегрального заряда обратного восстановления Q_{rr-i} от скорости спада тока di_R/dt в открытом состоянии

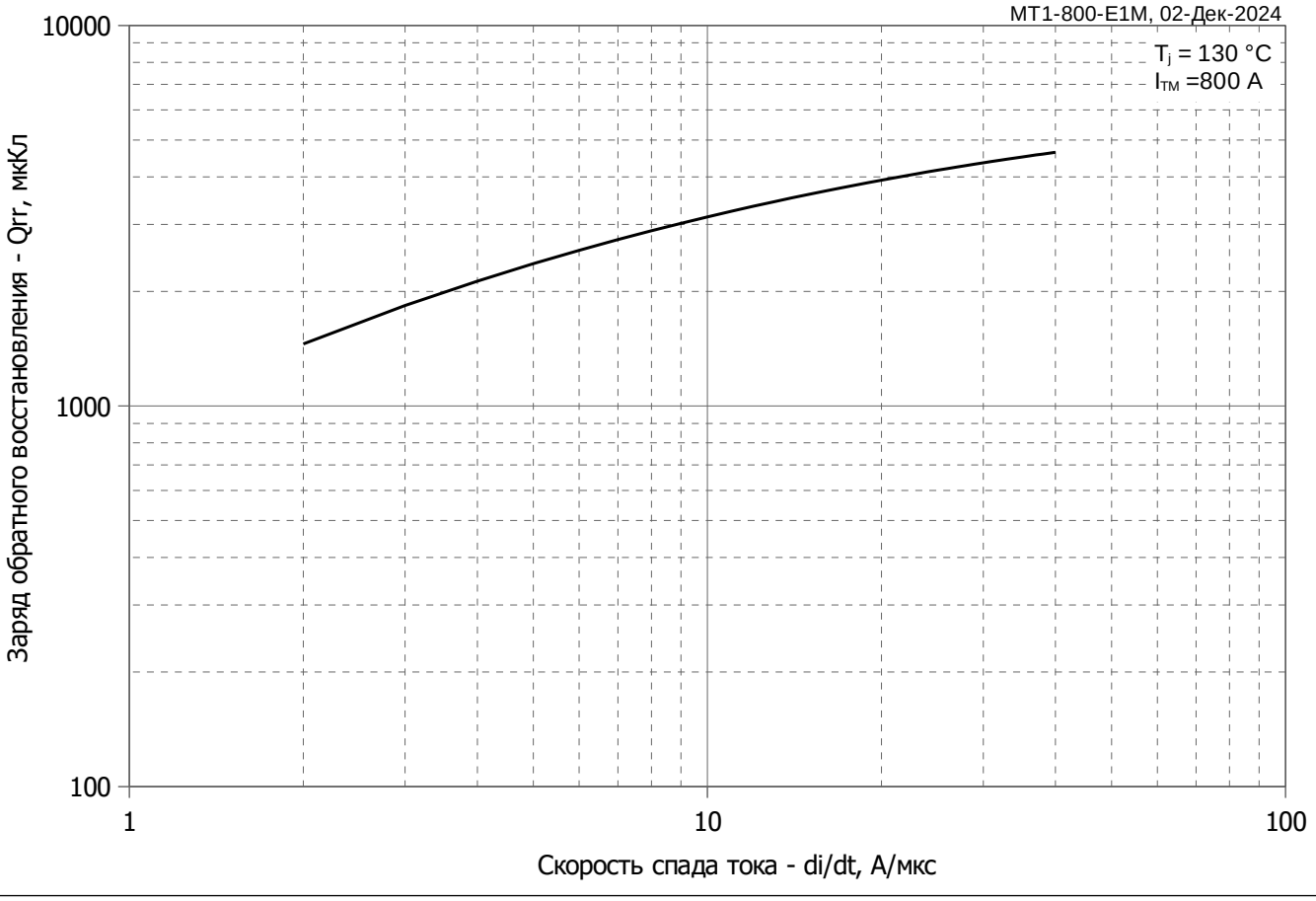

Рис. 6 – Зависимость максимального заряда обратного восстановления Q_{rr} от скорости спада тока di_R/dt (по ГОСТ 24461, хорда 25%) в открытом состоянии

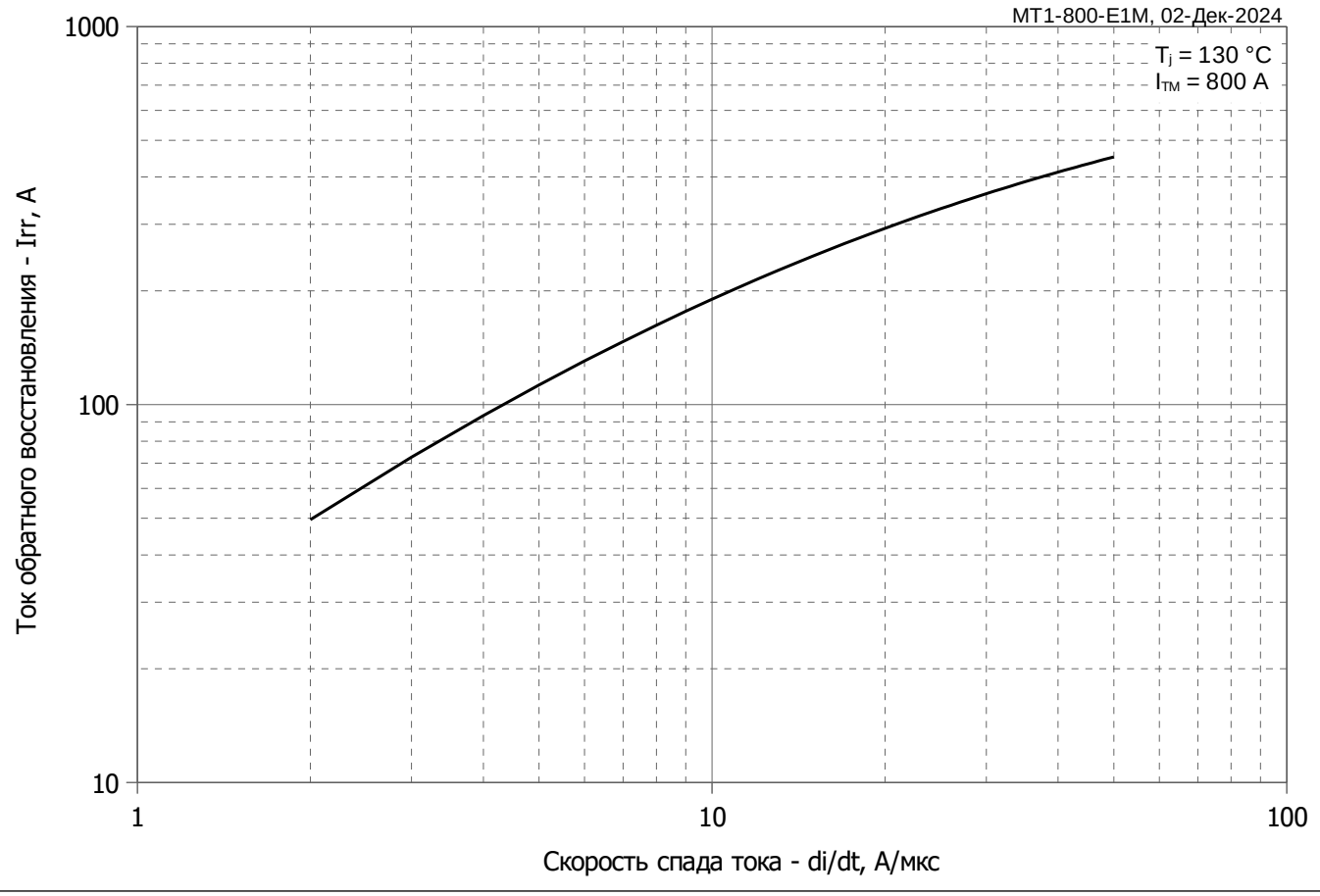

Рис. 7 – Зависимость максимального тока обратного восстановления I_{rr} от скорости спада тока di_R/dt в открытом состоянии

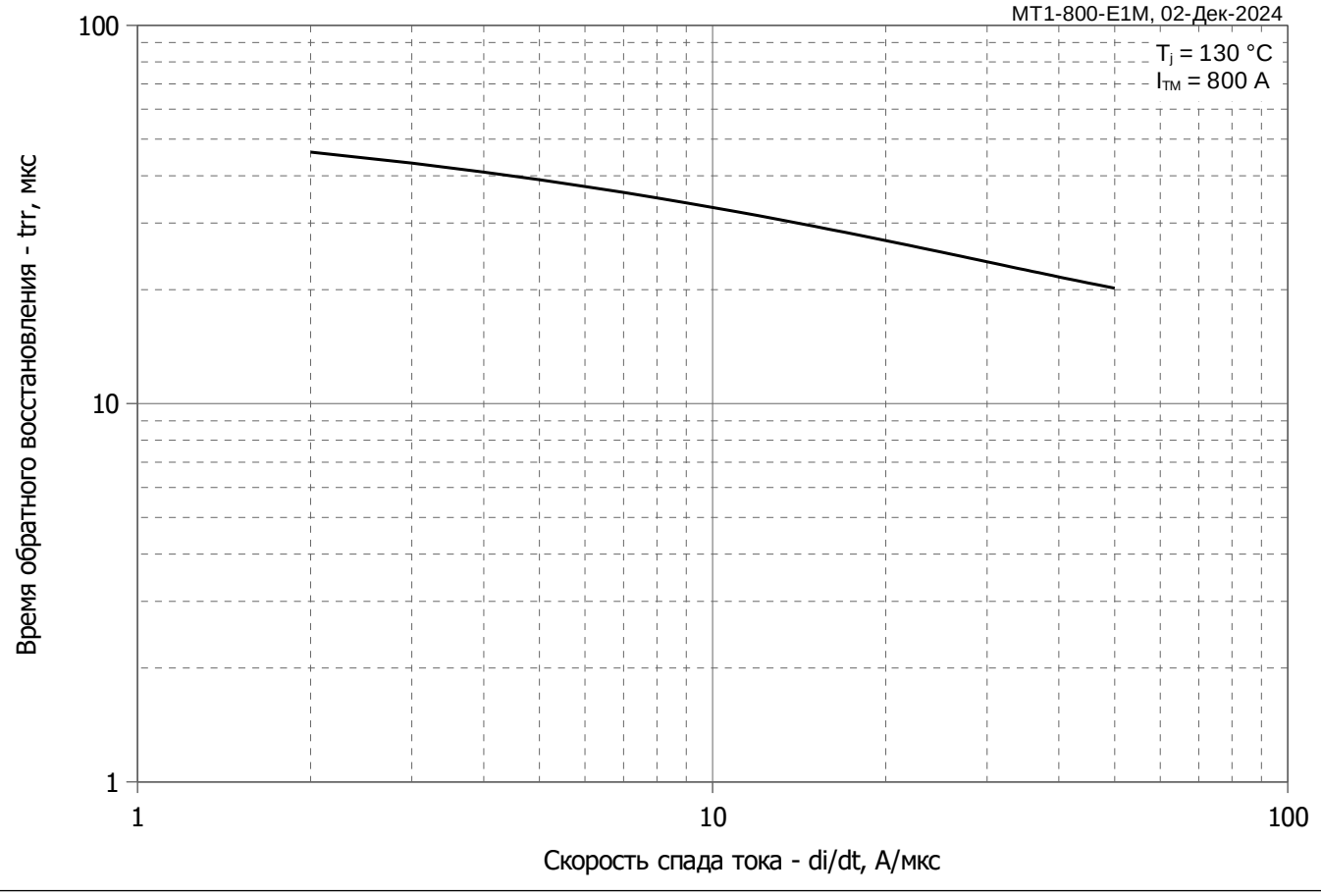

Рис. 8 - Зависимость максимального времени обратного восстановления t_{rr} от скорости спада тока di_R/dt (по ГОСТ 24461, хорда 25%) в открытом состоянии

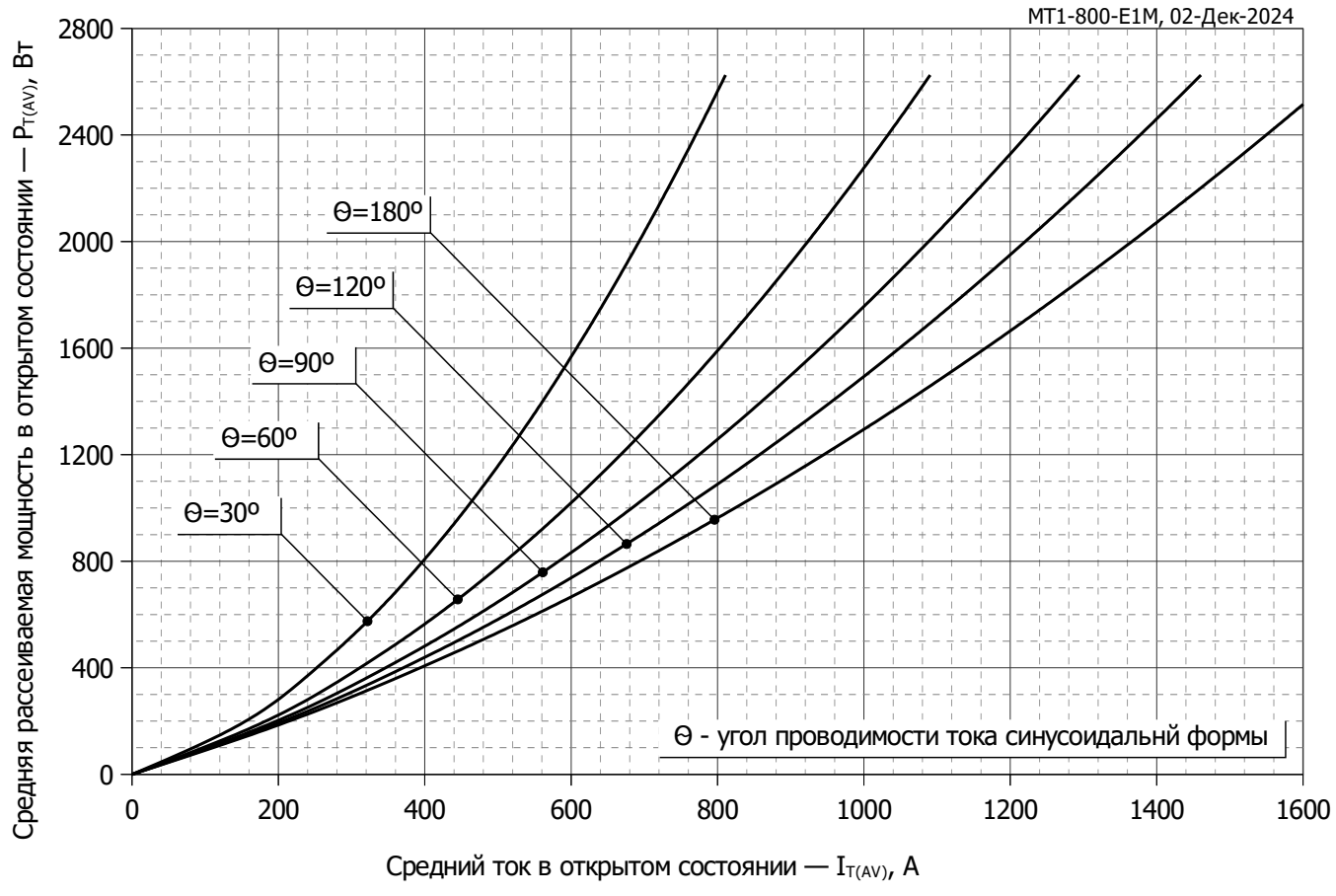

Рис. 9 - Зависимость потерь мощности P_{TAV} от среднего тока в открытом состоянии I_{TAV} синусоидальной формы при различных углах проводимости (f=50 Гц)

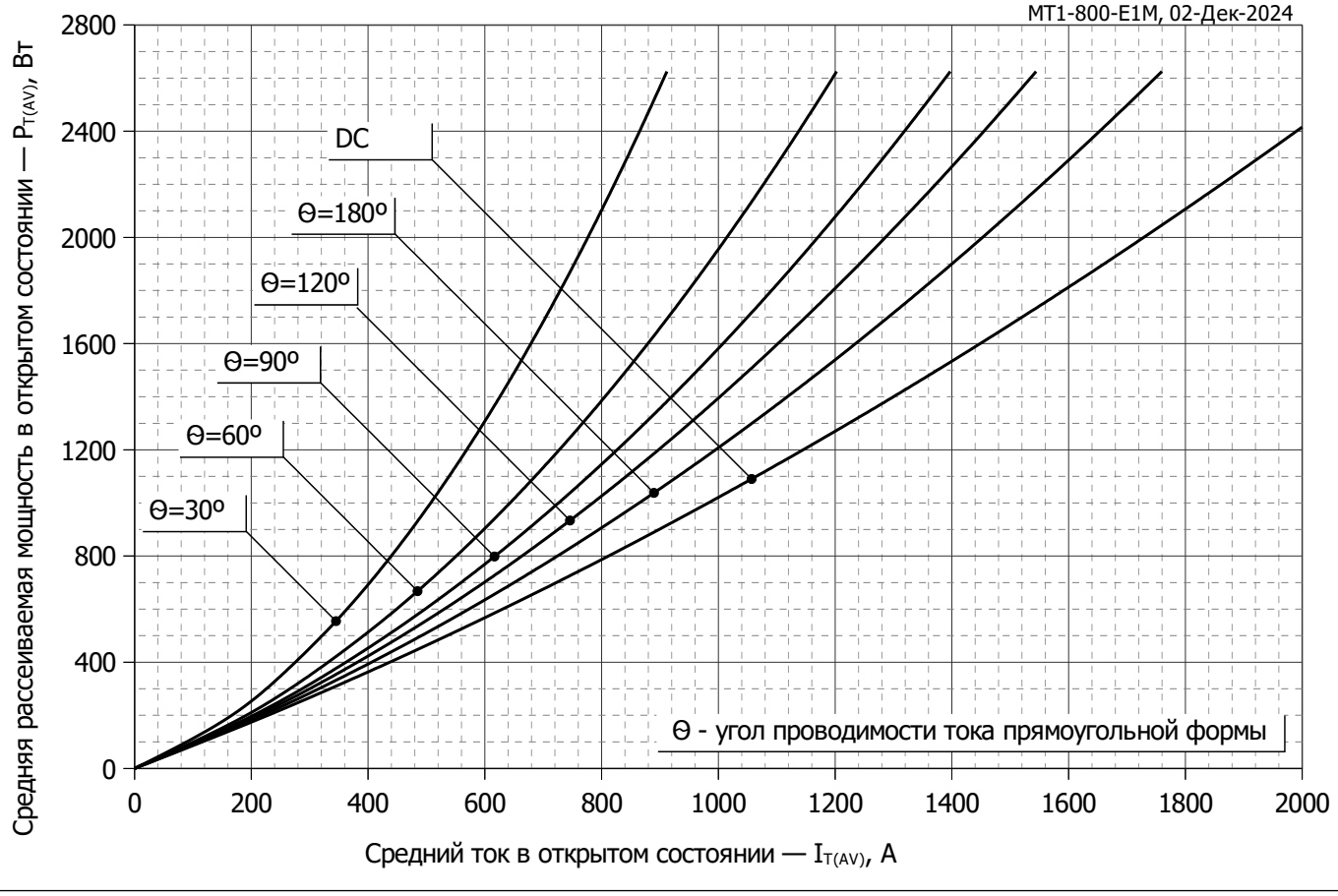

Рис. 10 – Зависимость потерь мощности P_{TAV} от среднего тока в открытом состоянии I_{TAV} прямоугольной формы при различных углах проводимости (f=50 Гц)

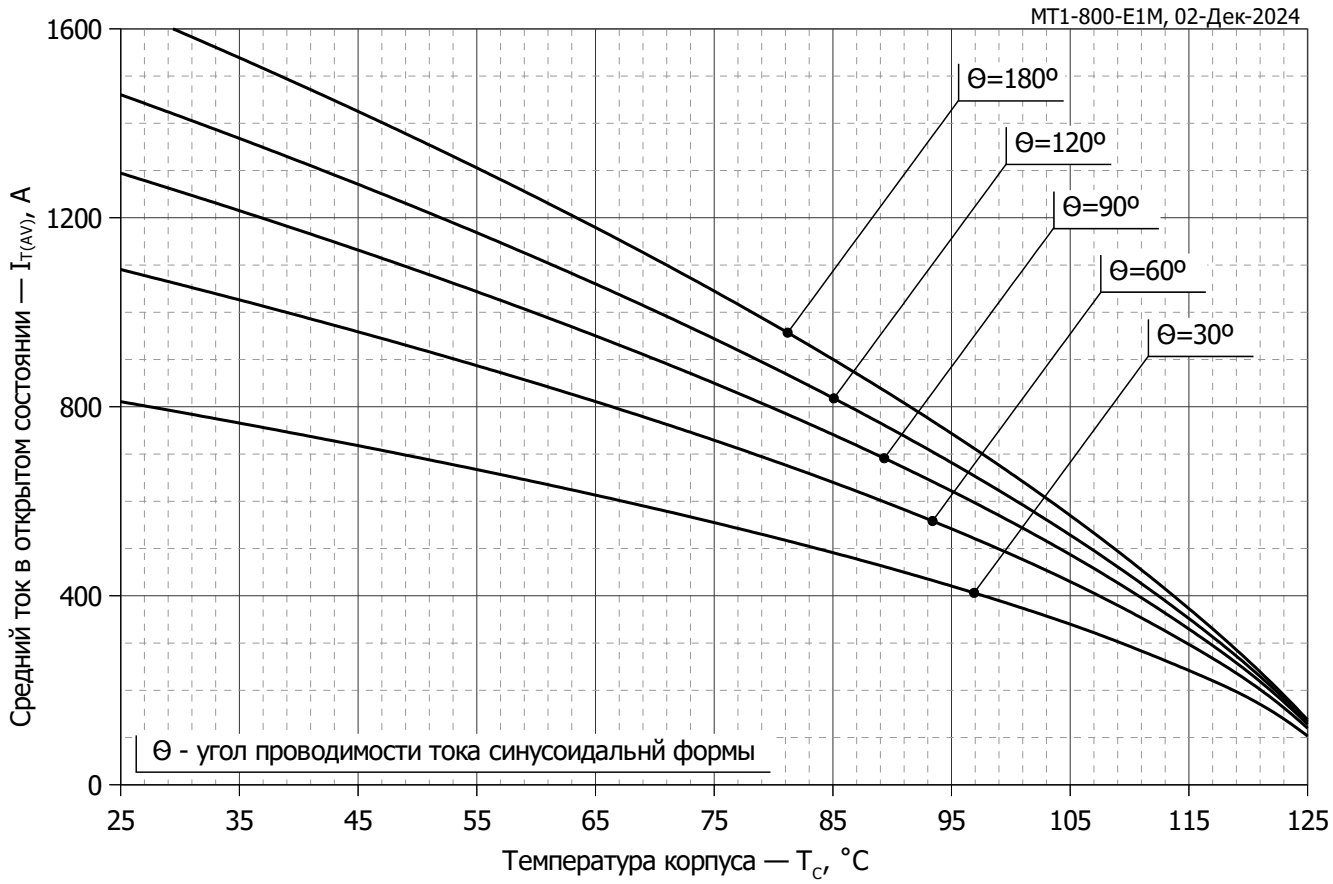

Рис. 11 – Зависимость среднего тока в открытом состоянии I_{TAV} от температуры корпуса T_C для синусоидальной формы тока при различных углах проводимости (f=50 Гц)

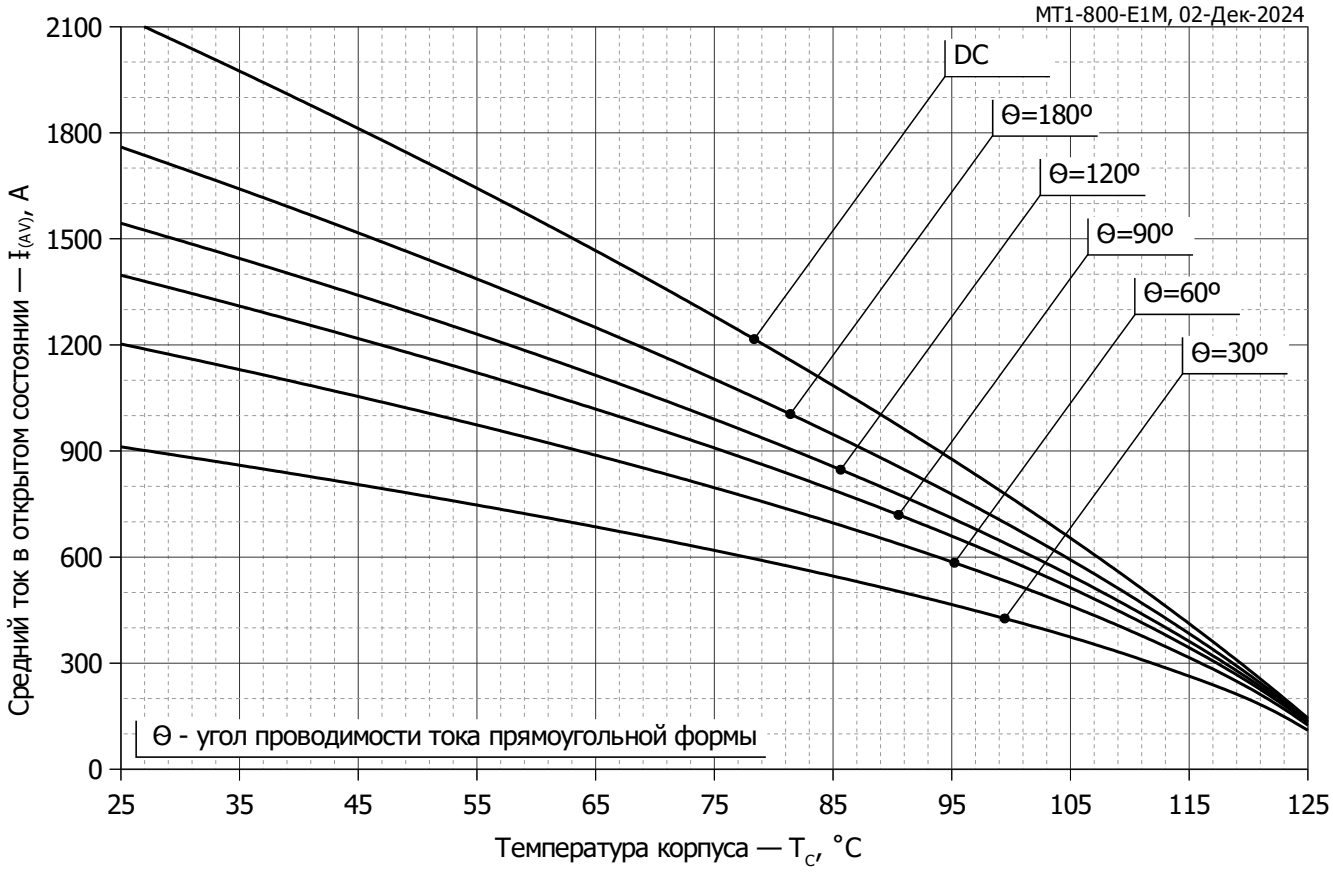

Рис. 12 - Зависимость среднего тока в открытом состоянии I_{TAV} от температуры корпуса T_C для прямоугольной формы тока при различных углах проводимости (f=50 Гц)

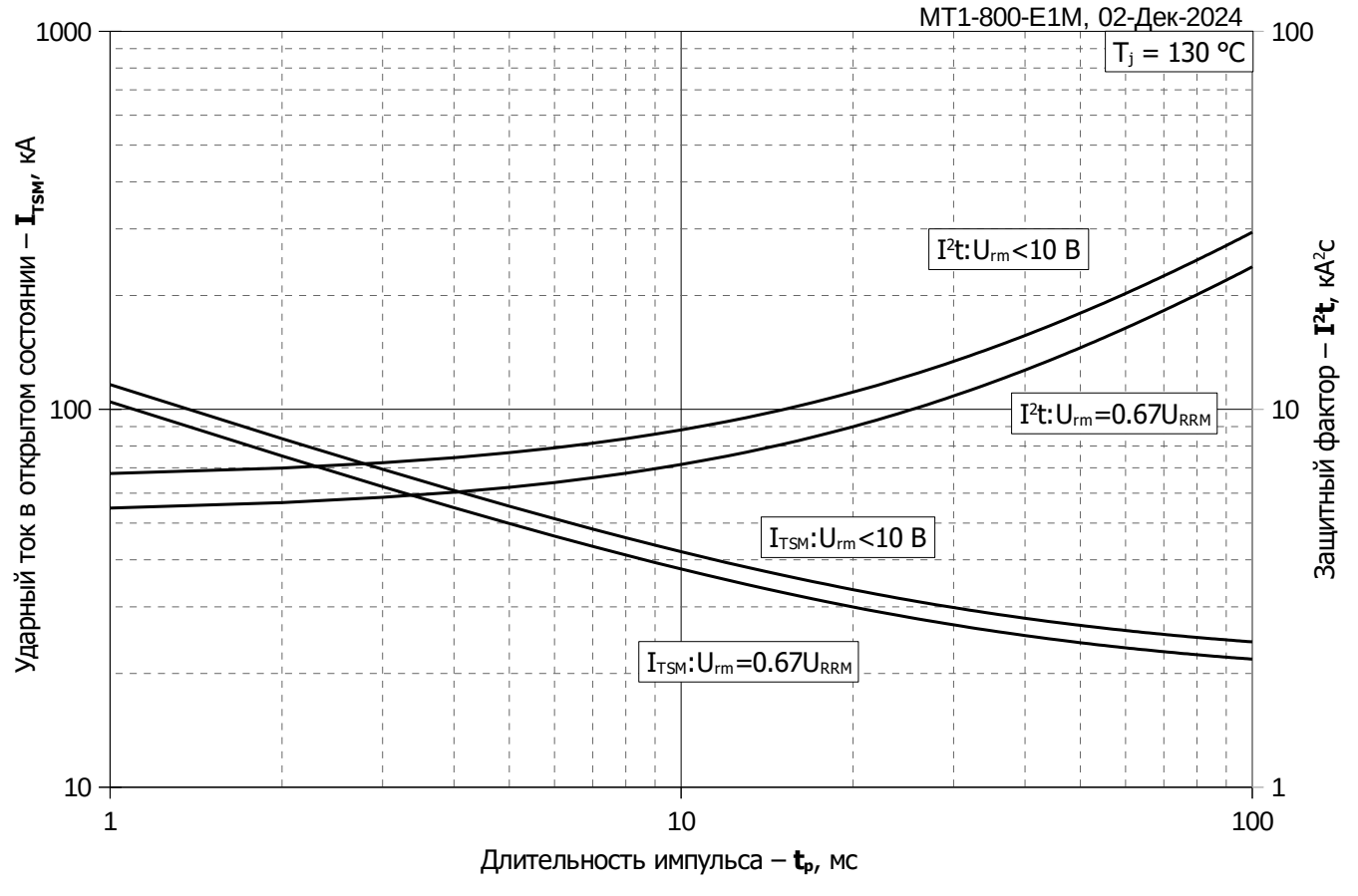

Рис. 13 – Зависимость максимальной амплитуды ударного тока в открытом состоянии I_{FSM} и защитного фактора I^2t от длительности импульса t_p

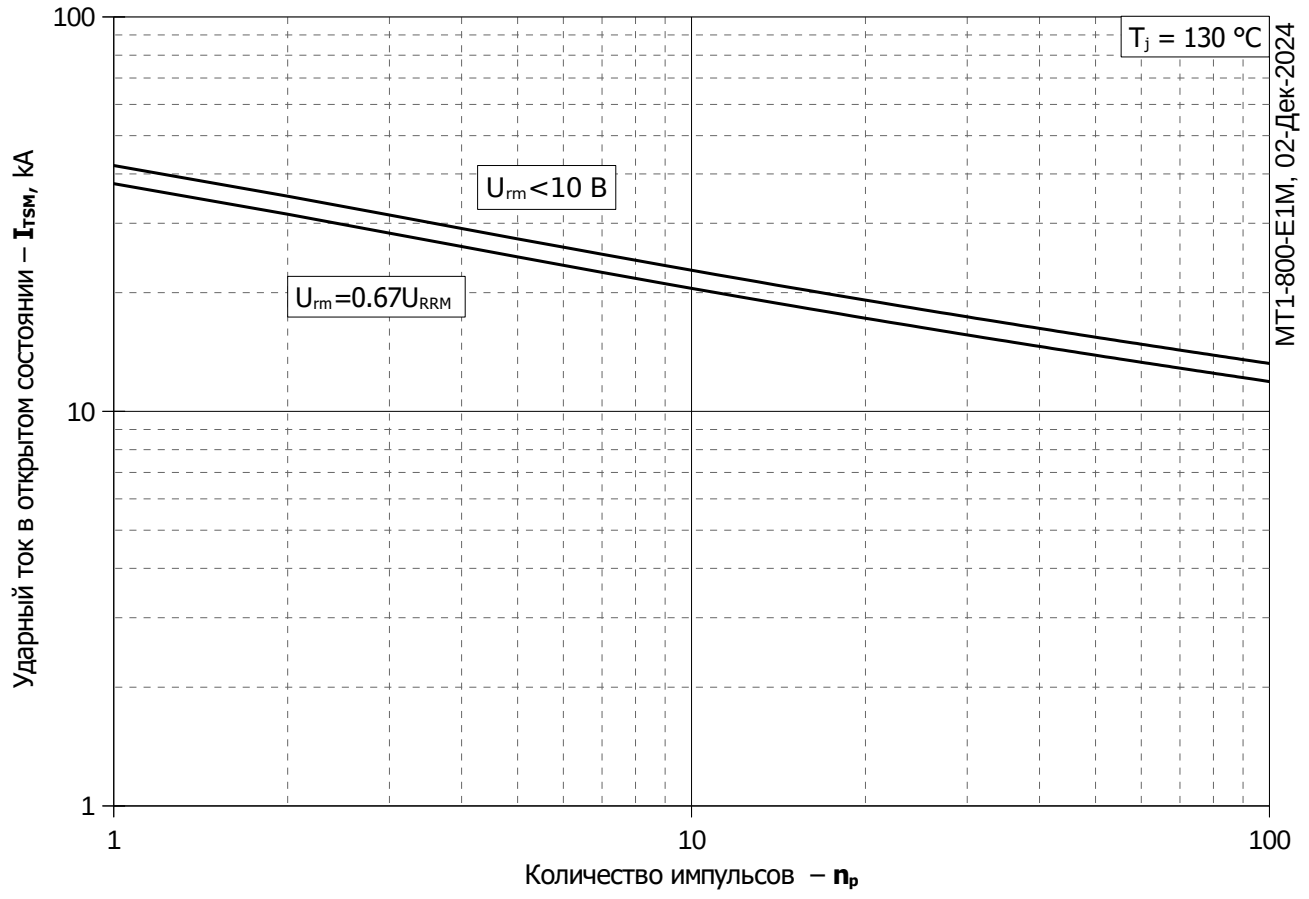

Рис. 14 – Зависимость максимальной амплитуды ударного тока в открытом состоянии I_{FSM} от количества импульсов n_p